

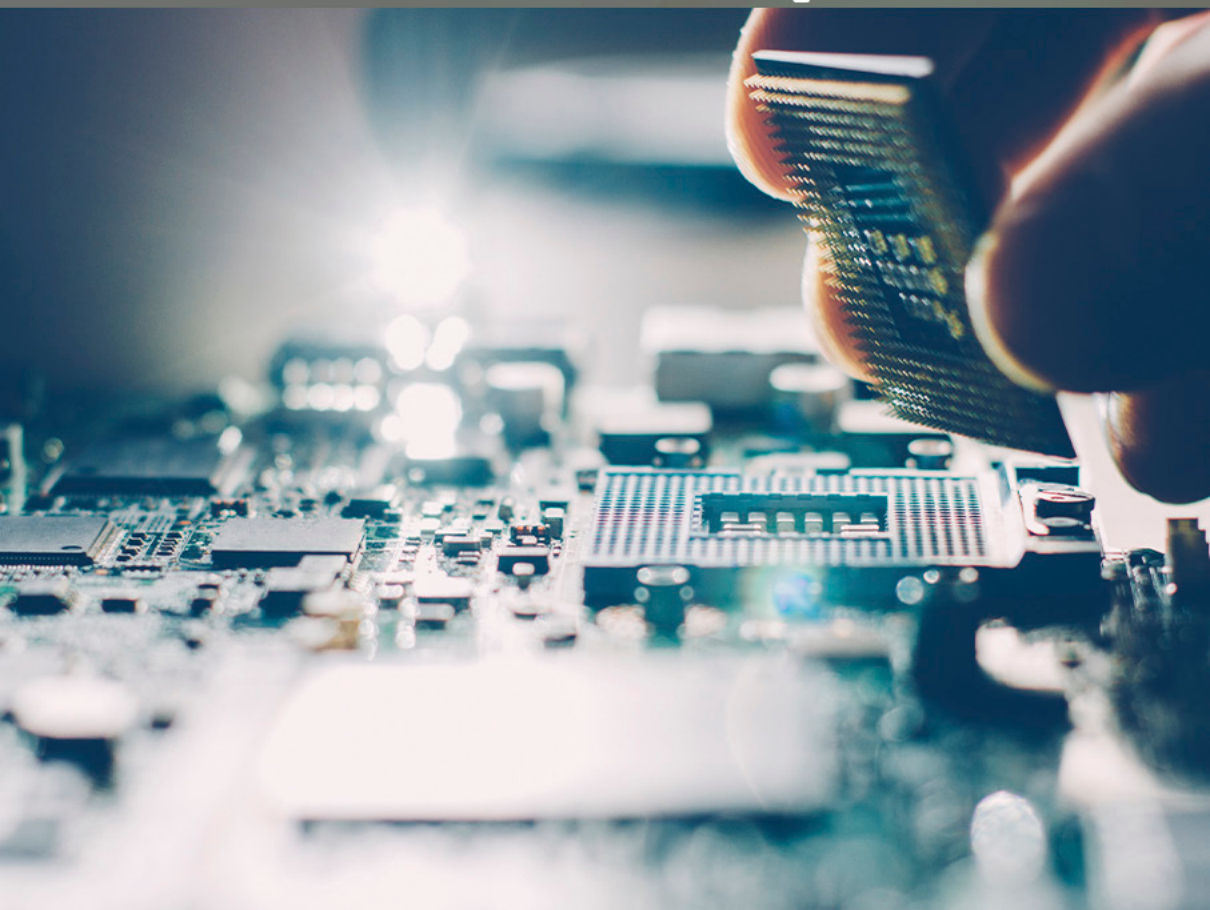
COLEÇÃO

DESAFIOS

DAS

ENGENHARIAS:

ENGENHARIA DE COMPUTAÇÃO



ERNANE ROSA MARTINS
(ORGANIZADOR)

 Atena
Editora
Ano 2021

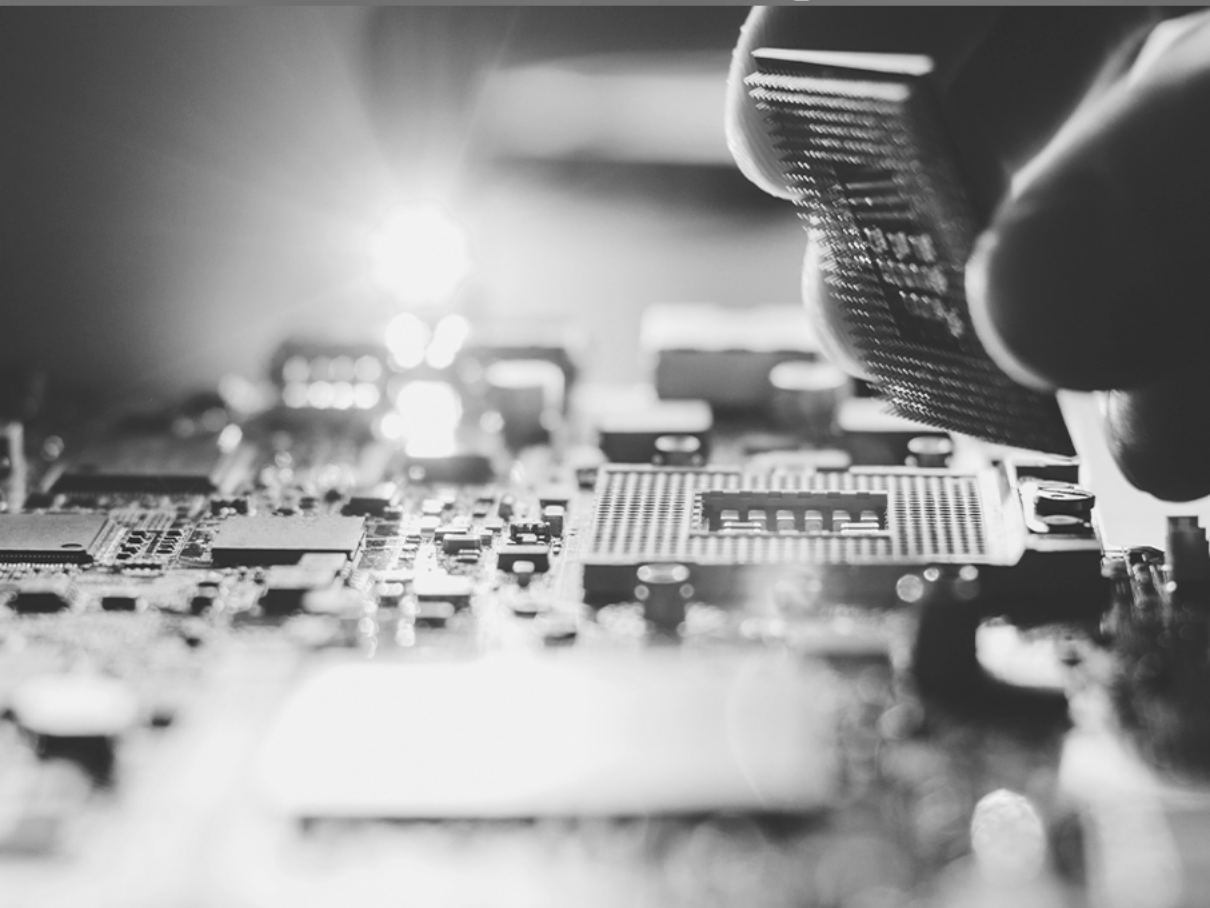
COLEÇÃO

DESAFIOS

DAS

ENGENHARIAS:

ENGENHARIA DE COMPUTAÇÃO



ERNANE ROSA MARTINS
(ORGANIZADOR)

 Atena
Editora
Ano 2021

Editora chefe	
Profª Drª Antonella Carvalho de Oliveira	
Assistentes editoriais	
Natalia Oliveira	
Flávia Roberta Barão	
Bibliotecária	
Janaina Ramos	
Projeto gráfico	
Natália Sandrini de Azevedo	
Camila Alves de Cremo	
Luiza Alves Batista	
Maria Alice Pinheiro	
Imagens da capa	
iStock	
Edição de arte	
Luiza Alves Batista	
Revisão	
Os autores	
	2021 by Atena Editora
	Copyright © Atena Editora
	Copyright do Texto © 2021 Os autores
	Copyright da Edição © 2021 Atena Editora
	Direitos para esta edição cedidos à Atena Editora pelos autores.
	Open access publication by Atena Editora



Todo o conteúdo deste livro está licenciado sob uma Licença de Atribuição Creative Commons. Atribuição-Não-Comercial-NãoDerivativos 4.0 Internacional (CC BY-NC-ND 4.0).

O conteúdo dos artigos e seus dados em sua forma, correção e confiabilidade são de responsabilidade exclusiva dos autores, inclusive não representam necessariamente a posição oficial da Atena Editora. Permitido o *download* da obra e o compartilhamento desde que sejam atribuídos créditos aos autores, mas sem a possibilidade de alterá-la de nenhuma forma ou utilizá-la para fins comerciais.

Todos os manuscritos foram previamente submetidos à avaliação cega pelos pares, membros do Conselho Editorial desta Editora, tendo sido aprovados para a publicação com base em critérios de neutralidade e imparcialidade acadêmica.

A Atena Editora é comprometida em garantir a integridade editorial em todas as etapas do processo de publicação, evitando plágio, dados ou resultados fraudulentos e impedindo que interesses financeiros comprometam os padrões éticos da publicação. Situações suspeitas de má conduta científica serão investigadas sob o mais alto padrão de rigor acadêmico e ético.

Conselho Editorial

Ciências Humanas e Sociais Aplicadas

Prof. Dr. Alexandre Jose Schumacher – Instituto Federal de Educação, Ciência e Tecnologia do Paraná

Prof. Dr. Américo Junior Nunes da Silva – Universidade do Estado da Bahia

Profª Drª Andréa Cristina Marques de Araújo – Universidade Fernando Pessoa

Prof. Dr. Antonio Carlos Frasson – Universidade Tecnológica Federal do Paraná

Prof. Dr. Antonio Gasparetto Júnior – Instituto Federal do Sudeste de Minas Gerais

Prof. Dr. Antonio Isidro-Filho – Universidade de Brasília

Prof. Dr. Arnaldo Oliveira Souza Júnior – Universidade Federal do Piauí
Prof. Dr. Carlos Antonio de Souza Moraes – Universidade Federal Fluminense
Prof. Dr. Crisóstomo Lima do Nascimento – Universidade Federal Fluminense
Prof^a Dr^a Cristina Gaio – Universidade de Lisboa
Prof. Dr. Daniel Richard Sant'Ana – Universidade de Brasília
Prof. Dr. Deyvison de Lima Oliveira – Universidade Federal de Rondônia
Prof^a Dr^a Dilma Antunes Silva – Universidade Federal de São Paulo
Prof. Dr. Edvaldo Antunes de Farias – Universidade Estácio de Sá
Prof. Dr. Elson Ferreira Costa – Universidade do Estado do Pará
Prof. Dr. Elio Martins Senhora – Universidade Federal de Roraima
Prof. Dr. Gustavo Henrique Cepolini Ferreira – Universidade Estadual de Montes Claros
Prof. Dr. Humberto Costa – Universidade Federal do Paraná
Prof^a Dr^a Ivone Goulart Lopes – Istituto Internazionale delle Figlie di Maria Ausiliatrice
Prof. Dr. Jadson Correia de Oliveira – Universidade Católica do Salvador
Prof. Dr. José Luis Montesillo-Cedillo – Universidad Autónoma del Estado de México
Prof. Dr. Julio Cândido de Meirelles Junior – Universidade Federal Fluminense
Prof^a Dr^a Lina Maria Gonçalves – Universidade Federal do Tocantins
Prof. Dr. Luis Ricardo Fernandes da Costa – Universidade Estadual de Montes Claros
Prof^a Dr^a Natiéli Piovesan – Instituto Federal do Rio Grande do Norte
Prof. Dr. Marcelo Pereira da Silva – Pontifícia Universidade Católica de Campinas
Prof^a Dr^a Maria Luzia da Silva Santana – Universidade Federal de Mato Grosso do Sul
Prof. Dr. Miguel Rodrigues Netto – Universidade do Estado de Mato Grosso
Prof. Dr. Pablo Ricardo de Lima Falcão – Universidade de Pernambuco
Prof^a Dr^a Paola Andressa Scortegagna – Universidade Estadual de Ponta Grossa
Prof^a Dr^a Rita de Cássia da Silva Oliveira – Universidade Estadual de Ponta Grossa
Prof. Dr. Rui Maia Diamantino – Universidade Salvador
Prof. Dr. Saulo Cerqueira de Aguiar Soares – Universidade Federal do Piauí
Prof. Dr. Urandi João Rodrigues Junior – Universidade Federal do Oeste do Pará
Prof^a Dr^a Vanessa Bordin Viera – Universidade Federal de Campina Grande
Prof^a Dr^a Vanessa Ribeiro Simon Cavalcanti – Universidade Católica do Salvador
Prof. Dr. William Cleber Domingues Silva – Universidade Federal Rural do Rio de Janeiro
Prof. Dr. Willian Douglas Guilherme – Universidade Federal do Tocantins

Ciências Agrárias e Multidisciplinar

Prof. Dr. Alexandre Igor Azevedo Pereira – Instituto Federal Goiano
Prof. Dr. Arinaldo Pereira da Silva – Universidade Federal do Sul e Sudeste do Pará
Prof. Dr. Antonio Pasqualetto – Pontifícia Universidade Católica de Goiás
Prof^a Dr^a Carla Cristina Bauermann Brasil – Universidade Federal de Santa Maria
Prof. Dr. Cleberton Correia Santos – Universidade Federal da Grande Dourados
Prof^a Dr^a Diocléa Almeida Seabra Silva – Universidade Federal Rural da Amazônia
Prof. Dr. Écio Souza Diniz – Universidade Federal de Viçosa
Prof. Dr. Fábio Steiner – Universidade Estadual de Mato Grosso do Sul
Prof. Dr. Fágnier Cavalcante Patrocínio dos Santos – Universidade Federal do Ceará
Prof^a Dr^a Girlene Santos de Souza – Universidade Federal do Recôncavo da Bahia
Prof. Dr. Jael Soares Batista – Universidade Federal Rural do Semi-Árido
Prof. Dr. Jayme Augusto Peres – Universidade Estadual do Centro-Oeste
Prof. Dr. Júlio César Ribeiro – Universidade Federal Rural do Rio de Janeiro
Prof^a Dr^a Lina Raquel Santos Araújo – Universidade Estadual do Ceará
Prof. Dr. Pedro Manuel Villa – Universidade Federal de Viçosa
Prof^a Dr^a Raissa Rachel Salustriano da Silva Matos – Universidade Federal do Maranhão
Prof. Dr. Ronilson Freitas de Souza – Universidade do Estado do Pará
Prof^a Dr^a Talita de Santos Matos – Universidade Federal Rural do Rio de Janeiro

Prof. Dr. Tiago da Silva Teófilo – Universidade Federal Rural do Semi-Árido
Prof. Dr. Valdemar Antonio Paffaro Junior – Universidade Federal de Alfenas

Ciências Biológicas e da Saúde

Prof. Dr. André Ribeiro da Silva – Universidade de Brasília
Prof^a Dr^a Anelise Levay Murari – Universidade Federal de Pelotas
Prof. Dr. Benedito Rodrigues da Silva Neto – Universidade Federal de Goiás
Prof^a Dr^a Daniela Reis Joaquim de Freitas – Universidade Federal do Piauí
Prof^a Dr^a Débora Luana Ribeiro Pessoa – Universidade Federal do Maranhão
Prof. Dr. Douglas Siqueira de Almeida Chaves – Universidade Federal Rural do Rio de Janeiro
Prof. Dr. Edson da Silva – Universidade Federal dos Vales do Jequitinhonha e Mucuri
Prof^a Dr^a Elizabeth Cordeiro Fernandes – Faculdade Integrada Medicina
Prof^a Dr^a Eleuza Rodrigues Machado – Faculdade Anhanguera de Brasília
Prof^a Dr^a Elane Schwinden Prudêncio – Universidade Federal de Santa Catarina
Prof^a Dr^a Eysler Gonçalves Maia Brasil – Universidade da Integração Internacional da Lusofonia Afro-Brasileira
Prof. Dr. Ferlando Lima Santos – Universidade Federal do Recôncavo da Bahia
Prof^a Dr^a Fernanda Miguel de Andrade – Universidade Federal de Pernambuco
Prof. Dr. Fernando Mendes – Instituto Politécnico de Coimbra – Escola Superior de Saúde de Coimbra
Prof^a Dr^a Gabriela Vieira do Amaral – Universidade de Vassouras
Prof. Dr. Gianfábio Pimentel Franco – Universidade Federal de Santa Maria
Prof. Dr. Helio Franklin Rodrigues de Almeida – Universidade Federal de Rondônia
Prof^a Dr^a Iara Lúcia Tescarollo – Universidade São Francisco
Prof. Dr. Igor Luiz Vieira de Lima Santos – Universidade Federal de Campina Grande
Prof. Dr. Jefferson Thiago Souza – Universidade Estadual do Ceará
Prof. Dr. Jesus Rodrigues Lemos – Universidade Federal do Piauí
Prof. Dr. Jônatas de França Barros – Universidade Federal do Rio Grande do Norte
Prof. Dr. José Max Barbosa de Oliveira Junior – Universidade Federal do Oeste do Pará
Prof. Dr. Luís Paulo Souza e Souza – Universidade Federal do Amazonas
Prof^a Dr^a Magnólia de Araújo Campos – Universidade Federal de Campina Grande
Prof. Dr. Marcus Fernando da Silva Praxedes – Universidade Federal do Recôncavo da Bahia
Prof^a Dr^a Maria Tatiane Gonçalves Sá – Universidade do Estado do Pará
Prof^a Dr^a Mylena Andréa Oliveira Torres – Universidade Ceuma
Prof^a Dr^a Natiéli Piovesan – Instituto Federal do Rio Grande do Norte
Prof. Dr. Paulo Inada – Universidade Estadual de Maringá
Prof. Dr. Rafael Henrique Silva – Hospital Universitário da Universidade Federal da Grande Dourados
Prof^a Dr^a Regiane Luz Carvalho – Centro Universitário das Faculdades Associadas de Ensino
Prof^a Dr^a Renata Mendes de Freitas – Universidade Federal de Juiz de Fora
Prof^a Dr^a Vanessa da Fontoura Custódio Monteiro – Universidade do Vale do Sapucaí
Prof^a Dr^a Vanessa Lima Gonçalves – Universidade Estadual de Ponta Grossa
Prof^a Dr^a Vanessa Bordin Viera – Universidade Federal de Campina Grande
Prof^a Dr^a Welma Emidio da Silva – Universidade Federal Rural de Pernambuco

Ciências Exatas e da Terra e Engenharias

Prof. Dr. Adélio Alcino Sampaio Castro Machado – Universidade do Porto
Prof^a Dr^a Ana Grasielle Dionísio Corrêa – Universidade Presbiteriana Mackenzie
Prof. Dr. Carlos Eduardo Sanches de Andrade – Universidade Federal de Goiás
Prof^a Dr^a Carmen Lúcia Voigt – Universidade Norte do Paraná
Prof. Dr. Cleiseano Emanuel da Silva Paniagua – Instituto Federal de Educação, Ciência e Tecnologia de Goiás
Prof. Dr. Douglas Gonçalves da Silva – Universidade Estadual do Sudoeste da Bahia
Prof. Dr. Eloí Rufato Junior – Universidade Tecnológica Federal do Paraná
Prof^a Dr^a Érica de Melo Azevedo – Instituto Federal do Rio de Janeiro

Prof. Dr. Fabrício Menezes Ramos – Instituto Federal do Pará
Profª Dra. Jéssica Verger Nardeli – Universidade Estadual Paulista Júlio de Mesquita Filho
Prof. Dr. Juliano Carlo Rufino de Freitas – Universidade Federal de Campina Grande
Profª Drª Luciana do Nascimento Mendes – Instituto Federal de Educação, Ciência e Tecnologia do Rio Grande do Norte
Prof. Dr. Marcelo Marques – Universidade Estadual de Maringá
Prof. Dr. Marco Aurélio Kistemann Junior – Universidade Federal de Juiz de Fora
Profª Drª Neiva Maria de Almeida – Universidade Federal da Paraíba
Profª Drª Natiéli Piovesan – Instituto Federal do Rio Grande do Norte
Profª Drª Priscila Tessmer Scaglioni – Universidade Federal de Pelotas
Prof. Dr. Sidney Gonçalo de Lima – Universidade Federal do Piauí
Prof. Dr. Takeshy Tachizawa – Faculdade de Campo Limpo Paulista

Linguística, Letras e Artes

Profª Drª Adriana Demite Stephani – Universidade Federal do Tocantins
Profª Drª Angeli Rose do Nascimento – Universidade Federal do Estado do Rio de Janeiro
Profª Drª Carolina Fernandes da Silva Mandaji – Universidade Tecnológica Federal do Paraná
Profª Drª Denise Rocha – Universidade Federal do Ceará
Profª Drª Edna Alencar da Silva Rivera – Instituto Federal de São Paulo
Profª Drª Fernanda Tonelli – Instituto Federal de São Paulo,
Prof. Dr. Fabiano Tadeu Grazioli – Universidade Regional Integrada do Alto Uruguai e das Missões
Prof. Dr. Gilmei Fleck – Universidade Estadual do Oeste do Paraná
Profª Drª Keyla Christina Almeida Portela – Instituto Federal de Educação, Ciência e Tecnologia do Paraná
Profª Drª Miranilde Oliveira Neves – Instituto de Educação, Ciência e Tecnologia do Pará
Profª Drª Sandra Regina Gardacho Pietrobon – Universidade Estadual do Centro-Oeste
Profª Drª Sheila Marta Carregosa Rocha – Universidade do Estado da Bahia

Coleção desafios das engenharias: engenharia de computação

Diagramação: Camila Alves de Cremo
Correção: Maiara Ferreira
Indexação: Gabriel Motomu Teshima
Revisão: Os autores
Organizador: Ernane Rosa Martins

Dados Internacionais de Catalogação na Publicação (CIP)

C691 Coleção desafios das engenharias: engenharia de computação / Organizador Ernane Rosa Martins. – Ponta Grossa - PR: Atena, 2021.

Formato: PDF
Requisitos de sistema: Adobe Acrobat Reader
Modo de acesso: World Wide Web
Inclui bibliografia
ISBN 978-65-5983-387-0
DOI: <https://doi.org/10.22533/at.ed.870211808>

1. Engenharia da computação. I. Martins, Ernane Rosa (Organizador). II. Título.

CDD 621.39

Elaborado por Bibliotecária Janaina Ramos – CRB-8/9166

Atena Editora

Ponta Grossa – Paraná – Brasil

Telefone: +55 (42) 3323-5493

www.atenaeditora.com.br

contato@atenaeditora.com.br

DECLARAÇÃO DOS AUTORES

Os autores desta obra: 1. Atestam não possuir qualquer interesse comercial que constitua um conflito de interesses em relação ao artigo científico publicado; 2. Declaram que participaram ativamente da construção dos respectivos manuscritos, preferencialmente na: a) Concepção do estudo, e/ou aquisição de dados, e/ou análise e interpretação de dados; b) Elaboração do artigo ou revisão com vistas a tornar o material intelectualmente relevante; c) Aprovação final do manuscrito para submissão.; 3. Certificam que os artigos científicos publicados estão completamente isentos de dados e/ou resultados fraudulentos; 4. Confirmam a citação e a referência correta de todos os dados e de interpretações de dados de outras pesquisas; 5. Reconhecem terem informado todas as fontes de financiamento recebidas para a consecução da pesquisa; 6. Autorizam a edição da obra, que incluem os registros de ficha catalográfica, ISBN, DOI e demais indexadores, projeto visual e criação de capa, diagramação de miolo, assim como lançamento e divulgação da mesma conforme critérios da Atena Editora.

DECLARAÇÃO DA EDITORA

A Atena Editora declara, para os devidos fins de direito, que: 1. A presente publicação constitui apenas transferência temporária dos direitos autorais, direito sobre a publicação, inclusive não constitui responsabilidade solidária na criação dos manuscritos publicados, nos termos previstos na Lei sobre direitos autorais (Lei 9610/98), no art. 184 do Código penal e no art. 927 do Código Civil; 2. Autoriza e incentiva os autores a assinarem contratos com repositórios institucionais, com fins exclusivos de divulgação da obra, desde que com o devido reconhecimento de autoria e edição e sem qualquer finalidade comercial; 3. Todos os e-book são *open access*, *desta forma* não os comercializa em seu site, sites parceiros, plataformas de e-commerce, ou qualquer outro meio virtual ou físico, portanto, está isenta de repasses de direitos autorais aos autores; 4. Todos os membros do conselho editorial são doutores e vinculados a instituições de ensino superior públicas, conforme recomendação da CAPES para obtenção do Qualis livro; 5. Não cede, comercializa ou autoriza a utilização dos nomes e e-mails dos autores, bem como nenhum outro dado dos mesmos, para qualquer finalidade que não o escopo da divulgação desta obra.

APRESENTAÇÃO

A Engenharia de Computação tem como definição ser o ramo da engenharia que se caracteriza pelo projeto, desenvolvimento e implementação de sistemas, equipamentos e dispositivos computacionais, segundo uma visão integrada de hardware e software, apoiando-se em uma sólida base matemática e conhecimentos de fenômenos físicos. O objetivo é a aplicação das tecnologias de computação na solução de problemas de Engenharia.

Deste modo, este livro, aborda diversos aspectos tecnológicos computacionais, tais como: o desenvolvimento de um jogo de RPG acessível em LIBRAS; uma reflexão quanto à necessidade de aplicação de supressores de surto como proteção de transformadores devido a eventos transitórios em manobras de disjuntores; um algoritmo para geração de contorno 2D envolvendo regiões irregulares; avaliação da influência das tensões residuais e imperfeições geométricas iniciais em colunas de aço submetidas à flexão em torno do eixo de menor inércia; os esforços em estruturas laminares, de características de geometria e carregamentos diversos através da implementação computacional de um elemento finito sólido hexaédrico de 8 nós programado com uma linguagem computacional de alto nível; uma análise computacional realizada através do programa SAP2000; a estabilidade e as vibrações de anéis e tubulações apoiados em uma fundação elástica de Pasternak; um controlador neural para dois eixos de um robô manipulador de três graus de liberdade (3 GDL); uma ferramenta de autoria para livros relacionados a área da educação; um aplicativo com propósito de aumentar a taxa de reciclagem e minimizar os danos ambientais devido ao descarte incorreto de resíduos na natureza; a conscientização de crianças e adolescentes sobre as ocorrências de bullying; uma aplicação web interativa, de fácil utilização e interface amigável, por meio do pacote Shiny, destinada aos tópicos de intervalo de confiança e dimensionamento de amostra para o parâmetro proporção; segmentar e detectar, por meio de redes neurais convolutivas, as pás dos raspadores de escória em panelas de ferro gusa do Reator Kambara de uma siderúrgica; integrar a Biblioteca Digital de Artigos (IFPublica) e a Plataforma de Digital de Inscrição e Administração de Projetos (PDIAP), por meio de adaptações nos dois projetos, para impedir erros humanos e automatizar o processo de cadastro de artigos do PDIAP na base de dados do IFPublica.

Assim, espero que a presente obra venha a se tornar um guia aos estudantes e profissionais da área de Engenharia de Computação, auxiliando-os em diversos assuntos relevantes da área, fornecendo a estes novos conhecimentos para poderem atender as necessidades informacionais, computacionais e de automação das organizações de uma forma geral. Por fim, agradeço aos autores por suas contribuições na construção desta importante obra e desejo muito sucesso a todos os nossos leitores.

SUMÁRIO

CAPÍTULO 1..... 1

A ELASTO-PLASTIC CONSTITUTIVE MODEL BASED ON CHABOCHE KINEMATIC HARDENING OF ALUMINUM ALLOY 7050-T7451

Renzo Fernandes Bastos

Daniel Masarin

Ernesto Massaroppi Junior

 <https://doi.org/10.22533/at.ed.8702118081>

CAPÍTULO 2..... 11

ACANNO: UM JOGO DE RPG COM UMA PROPOSTA DE ACESSIBILIDADE USANDO LIBRAS

Gabriel Barroso da Silva Lima

Marcos Roberto dos Santos

Almir de Oliveira Costa Junior

Jucimar Maia da Silva Junior

 <https://doi.org/10.22533/at.ed.8702118082>

CAPÍTULO 3..... 23

A IMPORTÂNCIA ATUAL DE ESTUDOS DE TRANSITÓRIOS ELETROMAGNÉTICOS PARA DEFINIÇÃO DE SISTEMAS DE PROTEÇÃO DE TRANSFORMADORES CONTRA SOBRETENSÕES E AS APLICAÇÕES RECENTES COM A INSTALAÇÃO DE SUPPRESSORES DE SURTO

Nelson Clodoaldo de Jesus

João Roberto Cogo

Luiz Marlus Duarte

Luis Fernando Ribeiro Ferreira

Éverson Júnior de Mendonça

Leandro Martins Fernandes

 <https://doi.org/10.22533/at.ed.8702118083>

CAPÍTULO 4..... 38

ALGORITMO PARA GERAÇÃO DE CONTORNO DE MALHAS RETANGULARES PARA CÁLCULO DE DIFERENÇAS FINITAS

Pedro Zaffalon da Silva

Neyva Maria Lopes Romeiro

Rafael Furlanetto Casamaximo

Iury Pereira de Souza

Paulo Laerte Natti

Eliandro Rodrigues Cirilo

 <https://doi.org/10.22533/at.ed.8702118084>

CAPÍTULO 5..... 53

ANÁLISE DA RESISTÊNCIA DE PILARES DE AÇO SOB A INFLUÊNCIA DE TENSÕES RESIDUAIS E IMPERFEIÇÕES GEOMÉTRICAS INICIAIS

Jefferson Alves Ferreira

Giovani Vitório Costa
Harley Francisco Viana
Renata Gomes Lanna da Silva

 <https://doi.org/10.22533/at.ed.8702118085>

CAPÍTULO 6.....70

ANÁLISE DE ESTRUTURAS LAMINARES UTILIZANDO UM ELEMENTO SÓLIDO DE BAIXA ORDEM ENRIQUECIDO COM MODOS INCOMPATÍVEIS

Erijohnson da Silva Ferreira
William Taylor Matias Silva
Sebastião Simão da Silva
Adenilda Timóteo Salviano
José Lucas Pessoa de Oliveira

 <https://doi.org/10.22533/at.ed.8702118086>

CAPÍTULO 7.....84

ANÁLISE ESTRUTURAL DO EDIFÍCIO SEDE DA PROCURADORIA GERAL DA REPÚBLICA: O ESTUDO DE CASO DO BLOCO “A”

Stefano Galimi
Márcio Augusto Roma Buzar
Marco Aurélio Bessa
Leonardo da Silveira Pirillo Inojosa

 <https://doi.org/10.22533/at.ed.8702118087>

CAPÍTULO 8.....103

ANÁLISE ESTRUTURAL DO EDIFÍCIO SEDE DA PROCURADORIA GERAL DA REPÚBLICA: O ESTUDO DE CASO DO BLOCO “B”

Stefano Galimi
Márcio Augusto Roma Buzar
Marco Aurélio Bessa
Marcos Henrique Ritter de Gregorio

 <https://doi.org/10.22533/at.ed.8702118088>

CAPÍTULO 9.....119

APPLICATION OF A MULTIOBJETIVE OPTIMIZATION PARETO APPROACH TO DESIGN THE SDRE CONTROLLER FOR A RIGID-FLEXIBLE SATELLITE

Luiz Carlos Gadelha de Souza

 <https://doi.org/10.22533/at.ed.8702118089>

CAPÍTULO 10.....131

APPLICATION OF DEEP LEARNING FOR ANALYSIS OF CRACKS IN PELLET FALLING TESTS

Marconi Junio Henriques Magnani
Jorge José Fernandes Filho
Thyago Rosa Souza
Marco Antonio de Souza Leite Cuadros

 <https://doi.org/10.22533/at.ed.87021180810>

CAPÍTULO 11.....143

FLAMBAGEM E VIBRAÇÃO DE ANÉIS E TUBULAÇÕES ESBELTAS EM UMA FUNDAÇÃO ELÁSTICA

Mariana Barros dos Santos Dias

Paulo Batista Gonçalves

 <https://doi.org/10.22533/at.ed.87021180811>

CAPÍTULO 12.....155

CALIDAD ÁGIL: PATRONES DE DISEÑO EN UN CONTEXTO DE DESARROLLO DIRIGIDO POR PRUEBAS

Anna Grimán Padua

Manuel Capel Tuñón

Eladio Garví

 <https://doi.org/10.22533/at.ed.87021180812>

CAPÍTULO 13.....168

CONTROLE NEURAL DE DOIS ELOS DE UM ROBÔ DE TRÊS GRAUS DE LIBERDADE

José Antonio Riul

Paulo Henrique de Miranda Montenegro

 <https://doi.org/10.22533/at.ed.87021180813>

CAPÍTULO 14.....181

SUBOPTIMAL CONTROL ON NONLINEAR SATELLITE SIMULATIONS USING SDRE AND H-INFINITY

Alessandro Gerlinger Romero

Luiz Carlos Gadelha de Souza

 <https://doi.org/10.22533/at.ed.87021180814>

CAPÍTULO 15.....193

CREATE REALITY IN BOOKS (CRINB) - PROPOSTA DE FERRAMENTA DE AUTORIA DE LIVROS COM REALIZADEADE AUMENTADA

Lucas Velho Gomes

Felipe Zunino

Gabriel Abreu Freire

Sidney Ferreira Coutinho

Rogério Grijo Biazotto

Eduardo Henrique Gomes

Nelson Nascimento Júnior

 <https://doi.org/10.22533/at.ed.87021180815>

CAPÍTULO 16.....198

DESENVOLVIMENTO DE ATIVIDADES DE ORIENTAÇÃO E CAPACITAÇÃO EM SISTEMAS DE COMPUTAÇÃO - RECYCLING IS BETTER

Líbero Passador Neto

Dimitre Moreira Ort

 <https://doi.org/10.22533/at.ed.87021180816>

CAPÍTULO 17.....	206
DESENVOLVIMENTO DE UM JOGO DIGITAL (2D) PARA CONSCIENTIZAÇÃO DE CRIANÇAS CONTRA O BULLYING	
Rafael Guedes da Silva	
Anderson Fabian Melo Nakanome	
 https://doi.org/10.22533/at.ed.87021180817	
CAPÍTULO 18.....	215
DESENVOLVIMENTO DE UMA APLICAÇÃO WEB PARA PROPORÇÃO E DIMENSIONAMENTO DE AMOSTRA POR MEIO DO PACOTE SHINY	
Pablo Fellipe de Souza Almeida	
Cristina Henriques Nogueira	
 https://doi.org/10.22533/at.ed.87021180818	
CAPÍTULO 19.....	226
DESIGN PATTERNS FOR SOFTWARE EVOLUTION REQUIREMENTS	
Anna Grimán Padua	
Manuel Capel Tuñón	
Eladio Garví	
 https://doi.org/10.22533/at.ed.87021180819	
CAPÍTULO 20.....	240
DETECTION AND SEGMENTATION OF PIG IRON SLAG SCRAPERS USING MASK RCNN FOR WEAR CONTROL	
Carlos Eduardo Oliveira Milanez	
Marco Antonio de Souza Leite Cuadros	
Gustavo Maia de Almeida	
 https://doi.org/10.22533/at.ed.87021180820	
CAPÍTULO 21.....	252
DIMENSIONAMENTO DE BLOCOS SOBRE ESTACAS METÁLICAS	
Fernanda Calado Mendonça	
Bernardo Horowitz	
 https://doi.org/10.22533/at.ed.87021180821	
CAPÍTULO 22.....	268
ESTIMATION OF STELLAR PARAMETERS FOR J-PLUS SURVEY WITH MACHINE LEARNING	
Carlos Andres Galarza Arevalo	
Simone Daflon	
Vinicius Moris Placco	
Carlos Allende-Prieto	
 https://doi.org/10.22533/at.ed.87021180822	
CAPÍTULO 23.....	279
ESTUDO ANALÍTICO E NUMÉRICO VIA MÉTODO DOS ELEMENTOS FINITOS DA	

RIGIDEZ DOS PILARES DE PONTES EM CONCRETO ARMADO

Sávio Torres Melo
Rebeka Manuela Lobo Sousa
Pablo Juan Lopes e Silva Santos
Francisca Itaynara de Souza Araújo
Thiago Rodrigues Piauilino Ribeiro
Amanda Evelyn Barbosa de Aquino
Diogo Raniere Ramos e Silva
Tiago Monteiro de Carvalho
Carlos Henrique Leal Viana
João Paulo dos Santos Silva
Madson Nogueira da Silva
Ilanna Castelo Branco Mesquita

 <https://doi.org/10.22533/at.ed.87021180823>

CAPÍTULO 24..... 290

ESTUDO ANALÍTICO E NUMÉRICO VIA MÉTODO DOS ELEMENTOS FINITOS DOS EFEITOS DE SEGUNDA ORDEM EM PILARES DE PONTES EM CONCRETO ARMADO

Sávio Torres Melo
Rebeka Manuela Lobo Sousa
Pablo Juan Lopes e Silva Santos
Francisca Itaynara de Souza Araújo
Thiago Rodrigues Piauilino Ribeiro
Amanda Evelyn Barbosa de Aquino
Diogo Raniere Ramos e Silva
Tiago Monteiro de Carvalho
Carlos Henrique Leal Viana
João Paulo dos Santos Silva
Madson Nogueira da Silva
Ilanna Castelo Branco Mesquita

 <https://doi.org/10.22533/at.ed.87021180824>

CAPÍTULO 25..... 311

ESTUDO DO MOVIMENTO DOS CORPOS MOEDORES NO PROCESSO DE MOAGEM UTILIZANDO O MÉTODO DOS ELEMENTOS DISCRETOS

Wladimir José Gomes Florêncio
Neilor Cesar dos Santos

 <https://doi.org/10.22533/at.ed.87021180825>

CAPÍTULO 26..... 329

FLUID FLOW SUMMARIZATION USING DYNAMIC MULTI-VECTOR FEATURE SPACES

Renato José Policani Borsetti
Leandro Tavares da Silva
Gilson Antonio Giraldi

 <https://doi.org/10.22533/at.ed.87021180826>

CAPÍTULO 27.....351

GESTÃO DE PROCESSOS: ALINHAMENTO ESTRATÉGICO ENTRE TI E NEGÓCIO
COM BPMN

Aryel Evelin Vieira Garcia

Rodrigo Elias Francisco

 <https://doi.org/10.22533/at.ed.87021180827>

CAPÍTULO 28.....359

IFINTEGRA - INTEGRADOR DA PLATAFORMA DE REGISTRO DE PROJETOS COM A
BIBLIOTECA DIGITAL DE ARTIGOS DE UM CAMPUS DO IFSUL

Mateus Roberto Algayer

Geovane Griesang

 <https://doi.org/10.22533/at.ed.87021180828>

SOBRE O ORGANIZADOR.....366**ÍNDICE REMISSIVO.....367**

CAPÍTULO 14

SUBOPTIMAL CONTROL ON NONLINEAR SATELLITE SIMULATIONS USING SDRE AND H-INFINITY

Data de aceite: 02/08/2021

Data de submissão: 30/04/2021

Alessandro Gerlinger Romero

National Institute for Space Research, Space Mechanics and Control Division
São José dos Campos – São Paulo
<http://lattes.cnpq.br/3237709114127674>

Luiz Carlos Gadelha de Souza

Federal University of ABC, Aerospace Division
São Bernardo do Campo, São Paulo
<http://lattes.cnpq.br/5801699053436537>

ABSTRACT: The control of a satellite can be designed with success by linear control theory if the satellite has slow angular motions. However, for fast maneuvers, the linearized models are not able to represent all the perturbations due to the effects of the nonlinear terms present in the dynamics which compromises the system's performance. Therefore, a nonlinear control technique yields better performance. Nonetheless, these nonlinear control techniques can be more sensitive to uncertainties. One candidate technique for the design of the satellite's control law under a fast maneuver is the State-Dependent Riccati Equation (SDRE). SDRE provides an effective algorithm for synthesizing nonlinear feedback control by allowing nonlinearities in the system states. The Brazilian National Institute for Space Research (INPE, in Portuguese) was demanded by the Brazilian government to build remote-sensing

satellites, such as the Amazonia-1 mission. In such missions, the satellite must be stabilized in three-axes so that the optical payload can point to the desired target. Although elsewhere the application of the SDRE technique has shown to yield better performance for the missions developed by INPE, a subsequent important question is whether such better performance is robust to uncertainties. In this paper, we investigate whether the application of the SDRE technique in the AOCS is robust stable to uncertainties in the missions developed by INPE. Moreover, in order to handle such uncertainty appropriately, we propose a combination of SDRE with H-infinity based on a left coprime factorization. In such a way that the attention is moved to the size of error signals and away from the size and bandwidth of selected closed-loop transfer function. The initial results showed that SDRE controller is robust to 5%, at least, variations in the inertia tensor of the satellite.

KEYWORDS: Nonlinear, control, SDRE, H-infinity.

CONTROLE SUBÓTIMO EM SIMULAÇÕES NÃO LINEARES DE SATÉLITE USANDO SDRE E H-INFINITO

RESUMO: O controle de um satélite pode ser projetado com sucesso usando a teoria do controle linear se o satélite apresentar movimentos angulares lentos. Porém, para manobras rápidas, os modelos linearizados não são capazes de representar todas as perturbações devido aos efeitos dos termos não lineares presentes na dinâmica, o que compromete o desempenho do sistema. Portanto, uma técnica de controle não

linear deve produzir um melhor desempenho. No entanto, essas técnicas de controle não linear podem ser mais sensíveis às incertezas. Uma técnica candidata para o projeto da lei de controle do satélite considerando uma manobra rápida é a equação de Riccati dependente do estado (SDRE). SDRE fornece um algoritmo eficaz para sintetizar o controle de feedback não linear. O Instituto Nacional de Pesquisas Espaciais (INPE) recebeu uma demanda do governo brasileiro para a construção de satélites de sensoriamento remoto, como a missão Amazônia-1. Nessas missões, o satélite deve ser estabilizado em três eixos para que a carga ótica possa apontar para o alvo desejado. Em outras pesquisas a aplicação da técnica SDRE mostrou um melhor desempenho para as missões desenvolvidas pelo INPE, uma questão importante subsequente é se esse melhor desempenho é robusto às incertezas. Neste artigo, investigamos se a aplicação da técnica SDRE no AOCS é robusta e estável às incertezas nas missões desenvolvidas pelo INPE. Além disso, a fim de lidar com essas incertezas de forma adequada, propomos uma combinação de SDRE com H-infinito com base em uma fatoração coprima esquerda. De forma que a atenção seja movida para o tamanho dos sinais de erro e não sobre o tamanho e largura de banda da função de transferência em malha fechada. Os resultados iniciais mostraram que o controlador SDRE é robusto a 5%, no mínimo, variações no tensor de inércia do satélite.

PALAVRAS-CHAVE: Não linear, controle, SDRE, H-infinito.

1 | INTRODUCTION

The design of a satellite attitude and orbit control subsystem (AOCS) that involves plant uncertainties, large angle maneuvers and fast attitude control following a stringent pointing, requires nonlinear control methods in order to satisfy performance and robustness requirements. An example is a typical mission of the Brazilian National Institute for Space Research (INPE), in which the AOCS must stabilize a satellite in three-axes so that the optical payload can point to the desired target with few arcsecs of pointing accuracy.

One candidate method for a nonlinear AOCS control law is the State-Dependent Riccati Equation (SDRE) method, originally proposed by (PEARSON, 1962) and then explored in detail by (ÇİMEN, 2008; ÇİMEN, 2010; CLOUTIER et al., 1996). SDRE is based on the arrangement of the system model in a form known as state-dependent coefficient (SDC) matrices. Accordingly, a suboptimal control law is carried out by a real-time solution of an algebraic Riccati equation (ARE) using the SDC matrices by means of a numerical algorithm.

Elsewhere, we showed State-Dependent Riccati Equation (SDRE) is a feasible nonlinear control technique that can be applied in satellites developed by INPE (ROMERO, 2020). Moreover, we showed, through simulation using a Monte Carlo perturbation model, SDRE provides better performance than the PID controller, a linear control technique.

In this paper, we tackle the next fundamental problem: robustness. We evaluate robustness from two perspectives: (1) parametric uncertainty of the inertia tensor and (2) a uniform attitude probability distribution. Through the combination of these two perspectives,

we grasp the robustness properties of SDRE in a broader sense. In order to handle the uncertainty appropriately, we combine SDRE with H_∞ .

SDRE was originally proposed by (PEARSON, 1962) and then explored in detail by (CLOUTIER et al., 1996). A good survey of the SDRE method can be found in (ÇİMEN, 2008) and its systematic application to deal with a nonlinear plant in (ÇİMEN, 2010). The SDRE method was applied by (GONZALES; SOUZA, 2009; DIMAURO et al., 2015; ROMERO; SOUZA, 2019; ROMERO, 2020; MESQUITA et al., 2017) for controlling a nonlinear system similar to the six-degree of freedom satellite model considered in this paper.

The application of SDRE method, and, consequently, the ARE problem that arises, have already been studied in the available literature, e.g., (MENON et al., 2002) investigated the approaches for the ARE solving as well as the resource requirements for such online solving. Recently, (DI MAURO et al., 2015) proposed the usage of differential algebra to reduce the resource requirements for the real-time implementation of SDRE controllers. In fact, the intensive resource requirements for the online ARE solving is the major drawback of SDRE. Nonetheless, the SDRE method has three major advantages: (a) simplicity, (b) numerical tractability and (c) flexibility for the designer, being comparable to the flexibility in the LQR (DI MAURO et al., 2015).

SDRE method can be readily extended to nonlinear H_∞ (CLOUTIER et al., 1996). The interest in H_∞ optimization for robust control of linear plants is mostly attributed to the influential work of (ZAMES, 1981), in which the problem of sensitivity reduction by feedback is formulated as an optimization problem. Later, (GLOVER; MCFARLANE, 1989) addressed the problem of robustly stabilizing a family of linear systems in the case where such family was characterized by H_∞ bounded perturbations of a normalized left coprime factorization of a nominal system.

The initial results showed that SDRE controller is robust to 5%, at least, variations in the inertia tensor of the satellite. This paper is organized as follows. In Section 2, the problem description is presented. In Section 3, the satellite physical modeling is reviewed. In Section 4, we explore the state-space model and the controllers. In Section 5, we share simulation results. Finally, the conclusions are shared in Section 6.

2 | PROBLEM DESCRIPTION

The SDRE technique entails factorization (that is, parametrization) of the nonlinear dynamics into the state vector and the product of a matrix-valued function that depends on the state itself. In doing so, SDRE brings the nonlinear system to a (nonunique) linear structure having SDC matrices given by Eq. (1).

$$\begin{aligned}\vec{\dot{x}} &= A(\vec{x})\vec{x} + B(\vec{x})\vec{u} \\ \vec{y} &= C\vec{x}\end{aligned}\tag{1}$$

where $x \in \mathbb{R}^n$ is the state vector and $u \in \mathbb{R}^m$ is the control vector. Notice that the SDC form has the same structure as a linear system, but with the system matrices, A and B , being functions of the state vector. The nonuniqueness of the SDC matrices creates extra degrees of freedom, which can be used to enhance controller performance, however, it poses challenges since not all SDC matrices fulfill the SDRE requirements, e.g., the pair (A, B) must be pointwise stabilizable.

The system model in Eq. (1) is subject of the cost functional described in Eq. (2).

$$J(\vec{x}_0, \vec{u}) = \frac{1}{2} \int_0^{\infty} (\vec{x}^T Q(\vec{x}) \vec{x} + \vec{u}^T R(\vec{x}) \vec{u}) dt\tag{2}$$

where $Q(x) \in \mathbb{R}^{n \times n}$ and $R(x) \in \mathbb{R}^{m \times m}$ are the state-dependent weighting matrices. In order to ensure local stability, $Q(x)$ is required to be positive semi-definite for all x and $R(x)$ is required to be positive for all x (MENON et al., 2002).

The SDRE controller linearizes the plant about the current operating point and creates constant state space matrices so that the LQR method can be used. This process is repeated in all samplings steps, resulting in a pointwise linear model from a non-linear model, so that an ARE is solved and a control law is computed also in each step. Therefore, according to LQR theory and Eq. (1) and (2), the state-feedback control law in each sampling step is $u = -K(x)x$ and the state-dependent gain $K(x)$ is obtained by Eq. (3) (ÇİMEN, 2010).

$$K(\vec{x}) = R^{-1}(\vec{x})B^T(\vec{x})P(\vec{x})\tag{3}$$

where $P(x)$ is the unique, symmetric, positive-definite solution of the algebraic state-dependent Riccati equation (SDRE) given by Eq. (4) (ÇİMEN, 2010).

$$P(\vec{x})A(\vec{x}) + A^T(\vec{x})P(\vec{x}) - P(\vec{x})B(\vec{x})R^{-1}(\vec{x})B^T(\vec{x})P(\vec{x}) + Q(\vec{x}) = 0\tag{4}$$

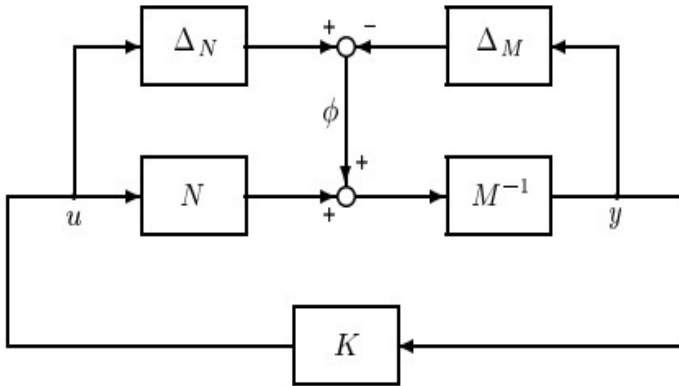


Figure 1: H_∞ robust stabilization problem with left coprime factorization (SKOGESTAD; POSTLETHWAITE, 2005).

Considering that Eq. (4) is solved in each sampling step, it is reduced to an ARE. Finally, the conditions for the application of the SDRE technique in a given system model are (ÇİMEN, 2010):

1. $A(x) \in C^1(\mathbb{R}^n)$
2. $B(x), C(x), Q(x), R(x) \in C^0(\mathbb{R}^n)$
3. $Q(x)$ is positive semi-definite and $R(x)$ is positive definite
4. $A(x)x \Rightarrow A(0)0 = 0$, i.e., the origin is an equilibrium point
5. $\text{pair}(A, B)$ is pointwise stabilizable (a sufficient test for stabilizability is to check the rank of controllability)
6. $\text{pair}(A, Q^{1/2})$ is pointwise detectable (a sufficient test for detectability is to check the rank of observability matrix)

2.1 Sdre with H_∞

SDRE method can be readily extended to nonlinear H_∞ (CLOUTIER et al., 1996). Consider the general nonlinear dynamics using SDC as:

$$\begin{aligned}\dot{x} &= A(x)x + B_1(x)w + B_2(x)u \\ z &= C_1(x)x + D_{12}(x)u \\ y &= C_2(x)x + D_{21}(x)u\end{aligned}\tag{5}$$

where $x \in \mathbb{R}^n$ is the state vector, $u \in \mathbb{R}^m$ is the control vector, $w \in \mathbb{R}^m$ is the vector of exogenous signals (e.g., disturbances) and $z \in \mathbb{R}^n$ is the vector of “error” signal which is to be minimized in some sense to meet the control objectives. Furthermore, the additional functions are $C^0(\mathbb{R}^n)$.

Consider such a state-space model, Eq. (5), described by a transfer function G .

Now consider the stabilization of plant G which has a normalized left coprime factorization (GLOVER; MCFARLANE, 1989; SKOGESTAD; POSTLETHWAITE, 2005):

$$G = M^{-1}N \quad (6)$$

then a perturbed plant model G_p can be written as (SKOGESTAD; POSTLETHWAITE, 2005):

$$G_p = (M + \Delta_M)^{-1}(N + \Delta_N) \quad (7)$$

where Δ_M, Δ_N are stable unknown transfer functions which represent the uncertainty in the nominal plant G .

The objective of robust stabilization H_∞ is to stabilize not only the nominal plant G , but a family of perturbed plants defined by (GLOVER; MCFARLANE, 1989; SKOGESTAD; POSTLETHWAITE, 2005):

$$G_p = \{(M + \Delta_M)^{-1}(N + \Delta_N) :: \|[\Delta_M \ \Delta_N]\|_\infty < \epsilon\} \quad (8)$$

where $\epsilon > 0$ is the stability margin. To maximize this stability margin is the problem of H_∞ robust stabilization of normalized coprime factor plant descriptions (GLOVER; MCFARLANE, 1989). For the positive feedback of Fig. 1, the perturbed plant is robustly stabilizable if and only if the nominal feedback is stable and (GLOVER; MCFARLANE, 1989; SKOGESTAD; POSTLETHWAITE, 2005)

$$\left\| \begin{bmatrix} K \\ I \end{bmatrix} (I - GK)^{-1} M^{-1} \right\|_\infty \leq \epsilon^{-1} \quad (9)$$

The maximum stability margin and the corresponding minimum γ are given as (GLOVER; MCFARLANE, 1989):

$$\gamma_{min} = \epsilon_{max}^{-1} = (1 + \rho(XZ))^{\frac{1}{2}} \quad (10)$$

where ρ denotes the spectral radius (maximum eigenvalue) and for the initial state-space realization Z and X are solutions of AREs.

Z and X are the solutions to the AREs (SKOGESTAD; POSTLETHWAITE, 2005; GLOVER; MCFARLANE, 1989):

$$\begin{aligned} (A - BS^{-1}D^T C)Z + Z(A - BS^{-1}D^T C)^T - ZC^T R^{-1}CZ + BS^{-1}B^T &= 0 \\ (A - BS^{-1}D^T C)^T x + X(A - BS^{-1}D^T C) - XBS^{-1}B^T X + C^T R^{-1}C &= 0 \\ R &= I + DD^T \\ S &= I + D^T D \end{aligned} \quad (11)$$

A controller which guarantees that (GLOVER; MCFARLANE, 1989; SKOGESTAD; POSTLETHWAITE, 2005):

$$\left\| \begin{bmatrix} K \\ I \end{bmatrix} (I - GK)^{-1} M^{-1} \right\|_{\infty} \leq \gamma \quad (12)$$

for a specified $\gamma > \gamma_{min}$, is given by:

$$K_{H_{\infty}} = \begin{bmatrix} A + BF + \gamma^2(L^T)^{-1}ZC^T(C + DF) & \gamma^2(L^T)^{-1}ZC^T \\ B^TX & -D^T \end{bmatrix}$$

$$F = -S^{-1}(D^TC + B^TX)$$

$$L = (1 - \gamma^2)I + XZ \quad (13)$$

Therefore, regarding the combination of SDRE and H_{∞} the procedure to compute the controller that maximizes the stability margin for the perturbed plants in each step is:

1. Reconstruct the matrices using the SDC form;
2. Solve the two AREs of Eq. (11) computing X and Z ;
3. Compute γ_{min} using Eq. (10);
4. Define a state-space model (A, B, C, D) using X , Z and a $\gamma > \gamma_{min}$ by Eq. (13);
5. Solve the third ARE that results from the state-space model described by Eq. (13), which leads to $P_{K_{H_{\infty}}}$ as the unique, symmetric, positive-definite solution of such ARE;
6. Compute the controller K for the original system using $K(x) = R^{-1}(x)B_2(x)P_{K_{H_{\infty}}}(x)$.

It is known that if a controller can be found using that procedure, the exogenous signal will be locally attenuated by γ in each step (SKOGESTAD; POSTLETHWAITE, 2005; CLOUTIER et al., 1996; GLOVER; MCFARLANE, 1989).

3 | SATELLITE PHYSICAL MODELING

The focus is on a typical mission developed by INPE, in which the AOCS must stabilize a satellite in three-axes so that the optical payload can point to the desired target. Next subsections explore the kinematics and the rotational dynamics of the satellite attitude available in the simulator.

3.1 Kinematics

Given the ECI reference frame (F_i) and the frame defined in the satellite with origin in its centre of mass (the bodyfixed frame, F_b), then a rotation $R \in SO(3)$ ($SO(3)$ is the set of all attitudes of a rigid body described by 3×3 orthogonal matrices whose determinant is one) represented by a unit quaternion $Q = [q_1 \ q_2 \ q_3 \ | \ q_4]^T$ can define the attitude of the satellite.

Defining the angular velocity $\omega \sim = [\omega_1 \ \omega_2 \ \omega_3]^T$ of F_b with respect to F_i measured in the F_b , the kinematics can be described by Eq. (14) (HUGHES, 1986).

$$\dot{Q} = \frac{1}{2}\Omega(\vec{\omega})Q$$

$$\Omega(\vec{\omega}) \triangleq \begin{bmatrix} 0 & \omega_3 & -\omega_2 & \omega_1 \\ -\omega_3 & 0 & \omega_1 & \omega_2 \\ \omega_2 & -\omega_1 & 0 & \omega_3 \\ -\omega_1 & -\omega_2 & -\omega_3 & 0 \end{bmatrix} \quad (14)$$

where the unit quaternion Q satisfies the following identity: $q_1^2 + q_2^2 + q_3^2 + q_4^2 = 1$.

Eq. (14) allows the prediction of the satellite's attitude if it is available the initial attitude and the history of the change in the angular velocity ($\dot{\omega} = F(\omega, t)$). Another possible derivation of the Eq. (14) is using the vector g (Gibbs vector or Rodrigues parameter) as $Q = [g^T | q_4]$.

$$\dot{Q} = -\frac{1}{2} \begin{bmatrix} \omega^\times \\ \omega^T \end{bmatrix} \begin{bmatrix} q_1 \\ q_2 \\ q_3 \end{bmatrix} + \frac{1}{2} q_4 \begin{bmatrix} 1_{3 \times 3} \\ 0 \end{bmatrix} \vec{\omega} \quad (15)$$

where ω^\times is the cross-product skew-symmetric matrix of ω and 1 is the identity matrix. Note the Gibbs vector is geometrically singular since it is not defined for 180° of rotation (FORTESCUE; SWINERD, 2011), nonetheless, the Eq. (15) is global.

3.2 Rotational dynamics

The satellite has a set of 3 reaction wheels, each one aligned with its principal axes of inertia, moreover, such type of actuator, momentum exchange actuators, does not change the angular momentum of the satellite. Consequently, it is mandatory to model their influence in the satellite, in particular, the angular momentum of the satellite is defined by Eq. (16).

$$\vec{h} = (\vec{I} - \sum_{n=1}^3 I_{n,s} a_n a_n^T) \vec{\omega} + \sum_{n=1}^3 h_{w,n} \vec{a}_n \quad (16)$$

where $I_{n,s}$ is the inertia moment of the reaction wheels in their symmetry axis a_n , $h_{w,n}$ is the angular momentum of the n reaction wheel about its centre of mass ($h_{w,n} = I_{n,s} a_n^T \omega + I_{n,s} \omega_n$) and ω_n is the angular velocity of the n reaction wheel.

One can define $I_b = \vec{I} - \sum_{n=1}^3 I_{n,s} a_n a_n^T$. Using I_b , the motion of the satellite is described by Eq. (17).

$$I_b \dot{\vec{\omega}}^b = g_{cm} - \omega \times (I_b \vec{\omega} + \sum_{n=1}^3 h_{w,n} \vec{a}_n) - \sum_{n=1}^3 g_n \vec{a}_n \quad (17)$$

where g_{cm} is the net external torque and g_n are the torques generated by the reaction wheels ($h_{w,n} = g_n$).

4 | CONTROLLER DESIGN

Two dynamics states must be controlled: (1) the attitude (perhaps described by unit quaternions Q) and (2) its stability, in other words, the angular velocity ω of the satellite. The following subsections explore the state-space modeling and the controllers' synthesis.

Name	Value		
Satellite Characteristics			
inertia tensor ($kg.m^2$)	310.0 1.11 1.01	1.11 360.0 -0.35	1.01 530.7
Actuators Characteristics - Reaction Wheels			
inertia tensor of 3 reaction wheels ($kg.m^2$)	diag(0.01911,0.01911,0.01911)		
maximum torque ($N.m$)		0.075	
maximum angular velocity (RPM)		6000	
Initial Conditions			
attitude (degrees, XYZ)	[0 0 180] ^T		
angular velocity (radians/second, XYZ)	[0 0 0.024] ^T		
References for the controller			
solar vector in the body (XYZ)	[1 0 0] ^T		
angular velocity (radians/second, XYZ)	[0 0 0] ^T		

Table 1: Satellite characteristics, initial conditions, and references.

4.1 Nonlinear control based on state-dependent riccati equation (SDRE) controller

Assuming that there are no net external torques ($g_{cm} = 0$), the state space model can be defined using Eq. (14) (Ω) and (17), however, the SDC matrices do not fulfill the SDRE requirements, in particular, the pair (A,B) is not pointwise stabilizable.

An alternative option for the definition of the SDC matrices is to use Eq. (15), which leads to Eq. (18).

$$\begin{bmatrix} \dot{x}_1 \\ \dot{x}_2 \end{bmatrix} = \begin{bmatrix} -\frac{1}{2} \begin{bmatrix} \omega^x \\ \omega^T \end{bmatrix} & 0 \\ 0 & 0 - I_b^{-1} \omega^x I_b + I_b^{-1} (\sum_{n=1}^3 h_{w,n} a_n)^x \end{bmatrix} \begin{bmatrix} x_0 \\ x_2 \end{bmatrix} + \begin{bmatrix} 0 \\ -I_b^{-1} \end{bmatrix} [u_1] \\ [y] = 1 \begin{bmatrix} x_0 \\ x_2 \end{bmatrix} \quad (18) \end{math>$$

Eq. (18) has been shown to satisfy SDRE conditions described in Section 2.

4.2 Nonlinear control based on state-dependent riccati equation (sdre) with H_∞ controller

Although the SDRE with H_∞ controller uses the Eq. (18), it follows the procedure defined in Subsection 2.1. Such a procedure requires the solving of three AREs in each step, instead of one ARE as usual in the SDRE controller.

5 | SIMULATION RESULTS

A simulation was conducted with the full Monte Carlo perturbation model described as follows: (1) the initial Euler angles of the nonlinear spacecraft system are randomly selected using independent uniform distributions (*minimum* = -180° , *maximum* = 180°); (2) the initial angular velocity are randomly selected using independent uniform distributions (*minimum* = -0.01 rad/s , *maximum* = 0.01 rad/s), and (3) each element of the inertia tensor defined in Table 1 is changed accordingly a normal distribution $N(\text{nominal}, (\text{nominal} * 0.016666)^2)$ - so $\pm 5\%$ for three σ in each side of the Gaussian.

The Monte Carlo model ran 50 times. Such executions used simulation time 1500 seconds, fixed step 0.05 seconds, the data presented in Table 1 and the controller defined by Eq. (18) and (3): SDRE+ H_∞ controller ($R = 1$ and $Q = 1$). Fig. 2 shows the simulation results, which are in accordance with Section 2.

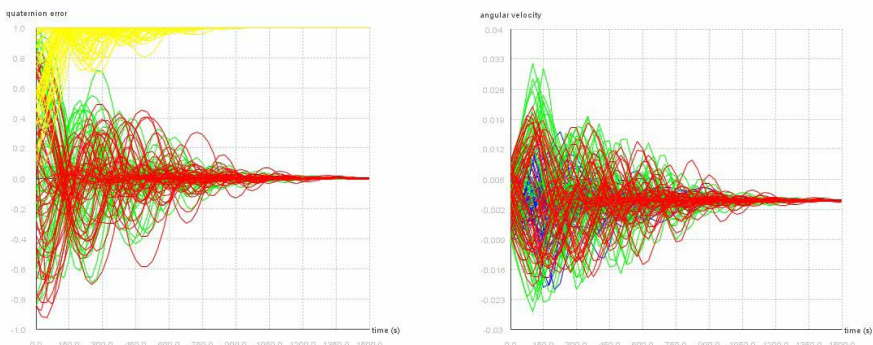


Figure 2: Simulation results for parametric uncertainty of SDRE Gibbs with H_∞ .

6 | CONCLUSION

The major contribution of the current paper is the extension of SDRE with H_∞ using exactly three AREs to find the sub-optimal controller, whereas the literature suggests the γ -iteration in each step in order to solve the general H_∞ problem (CLOUTIER et al., 1996). Finally, the disturbances are locally attenuated by γ in each step.

REFERENCES

- ÇİMEN, T. State-Dependent Riccati Equation (SDRE) control: A survey. IFAC Proceedings Volumes (IFAC-PapersOnline), v. 17, n. 1 PART 1, p. 3761–3775, 2008. ISSN 14746670.
- _____. Systematic and effective design of nonlinear feedback controllers via the state-dependent Riccati equation (SDRE) method. Annual Reviews in Control, v. 34, n. 1, p. 32–51, 2010. ISSN 13675788.
- CLOUTIER, J. R.; D'SOUZA, C. N.; MRACEK, C. P. Nonlinear regulation and nonlinear H-infinity control via the State-Dependent Riccati equation technique. Conference on Nonlinear Problems in Aviation, v. 1, n. September, 1996.
- DI MAURO, G.; SCHLÖTTERER, M.; THEIL, S.; LAVAGNA, M. Nonlinear Control for Proximity Operations Based on Differential Algebra. Journal of Guidance, Control, and Dynamics, American Institute of Aeronautics and Astronautics, v. 38, n. 11, p. 2173–2187, apr 2015. ISSN 0731-5090. Available from: <<https://doi.org/10.2514/1.G000842>>.
- FORTESCUE, P. W.; SWINERD, G. G. Attitude Control. Wiley, 2011. 289–326 p. ISBN 9781119971009. Available from: <<http://doi.wiley.com/10.1002/9781119971009.ch9>>.
- GLOVER, K.; MCFARLANE, D. Robust stabilization of normalized coprime factor plant descriptions with H_{∞} μ -bounded uncertainty. IEEE Transactions on Automatic Control, v. 34, n. 8, p. 821–830, Aug 1989. ISSN 2334-3303.
- GONZALES, R. G.; SOUZA, L. C. G. d. Application of the sdre method to design a attitude control system simulator. Advances in the Astronautical Sciences, v. 134, n. Part 1-3, p. 2251–2258, 2009. ISSN 0065-3438. Setores de Atividade: Educação. Access in: 11 mar. 2018.
- HUGHES, P. C. Spacecraft Attitude Dynamics. [S.I.]: New York, 1986.
- MENON, P. K.; LAM, T.; CRAWFORD, L. S.; CHENG, V. H. Real-time computational methods for SDRE nonlinear control of missiles. Proceedings of the American Control Conference, v. 1, p. 232–237, 2002. ISSN 07431619.
- MESQUITA, B. D. R. de; KUGA, H. K.; CARRARA, V. Estimation and Attitude Control in CONASAT Nominal Operation Mode: An Approach for SDRE Filter and PID Control. IEEE Latin America Transactions, v. 15, n. 5, p. 835–842, 2017.
- PEARSON, J. D. Approximation Methods in Optimal Control I. Sub-optimal Control†. Journal of Electronics and Control, Taylor & Francis, v. 13, n. 5, p. 453–469, 1962. Available from: <<https://doi.org/10.1080/00207216208937454>>.

ROMERO, A. G. Satellite simulation developer's guide - attitude dynamics and control of nonlinear satellite simulations. São José dos Campos: Instituto Nacional de Pesquisas Espaciais, 2020. 89 p. Available from: <<http://urlib.net/rep/8JMKD3MGP3W34R/3UCPLUE>>. Access in: 16 ago. 2020.

ROMERO, A. G.; SOUZA, L. C. G. Satellite controller system based on reaction wheels using the State-Dependent Riccati Equation (SDRE) on java. In: Proceedings of the 10th International Conference on Rotor Dynamics - IFToMM. [S.l.: s.n.], 2019.

SKOGESTAD, S.; POSTLETHWAITE, I. Multivariable Feedback Control: Analysis and Design. Hoboken, NJ, USA: John Wiley & Sons, Inc., 2005. ISBN 0470011688. XV.

ZAMES, G. Feedback and optimal sensitivity: Model reference transformations, multiplicative seminorms, and approximate inverses. IEEE Transactions on Automatic Control, v. 26, n. 2, p. 301–320, April 1981. ISSN 2334-3303.

ÍNDICE REMISSIVO

A

- Algoritmo 38, 40, 42, 44, 46, 48, 50, 70, 82, 120, 168, 169, 182, 257, 262, 265, 322, 330
Análise avançada 53, 54, 55, 68
Análise computacional 84, 103
Análise estrutural 55, 71, 82, 84, 85, 92, 93, 94, 95, 97, 103, 109, 110, 111
Aprendizado 13, 174, 193, 194, 197, 208, 215, 224, 268

B

- Bullying 206, 207, 208, 210, 211, 212, 213, 214

C

- Carga crítica 143, 144, 147, 148, 149, 152, 153
Computational fluid dynamics 329, 330, 350
Constitutive model 1, 2, 5, 6, 10
Contorno 38, 39, 40, 41, 42, 43, 44, 45, 46, 47, 49, 50, 51, 71, 299
Controlador neural 168, 169, 170, 171, 172, 173, 174, 175, 179
Controle 19, 119, 120, 131, 168, 169, 171, 173, 174, 175, 176, 177, 178, 179, 180, 181, 182, 240, 295, 312, 352, 353, 356, 358

D

- Deep learning 131, 132, 134, 135, 136, 137, 138, 141, 142
Descarte adequado 198
Desenvolvimento 11, 12, 14, 15, 17, 20, 21, 35, 36, 40, 44, 82, 83, 193, 194, 195, 197, 198, 199, 200, 205, 206, 208, 209, 210, 211, 215, 216, 217, 221, 225, 226, 227, 254, 260, 265, 281, 294, 327, 352, 354, 357, 359, 361, 362, 363, 364
Design patterns 155, 156, 166, 167, 226, 227, 228, 230, 231, 234, 238
Diferenças finitas 38, 39, 40, 45, 50, 51, 52, 315
Digital 167, 197, 206, 207, 210, 213, 239, 243, 319, 320, 358, 359, 360, 362, 363, 365
Drop test 131, 132, 133, 134, 135, 141

E

- Educação 12, 13, 14, 21, 53, 68, 70, 191, 193, 195, 197, 208, 212, 215, 225, 279, 290, 311, 326, 359, 366
Educacional 14, 82, 206, 208, 209
Elemento hexaédrico 70, 72, 75, 77
Elementos finitos 53, 55, 69, 70, 71, 72, 83, 279, 280, 281, 285, 286, 290, 291, 294, 297,

- 299, 303, 306, 309, 321
Equações diferenciais 39, 40, 44, 51, 71, 294
Estabilidade estrutural 143
Estatística 21, 215, 216, 217, 218, 224, 225
Estrutura 17, 38, 54, 71, 72, 75, 77, 78, 81, 82, 84, 85, 87, 89, 90, 91, 97, 98, 99, 101, 102, 103, 104, 106, 112, 113, 114, 115, 116, 117, 118, 152, 218, 221, 253, 266, 279, 280, 281, 282, 283, 284, 286, 288, 291, 292, 293, 297, 298, 302, 309, 362, 363

F

- Ferramenta 15, 18, 22, 39, 193, 194, 195, 196, 200, 204, 210, 211, 216, 224, 294, 313, 354, 356, 360, 361, 363
Frequências naturais 143, 144, 146, 147, 149, 150, 151, 152, 153

Fundação elástica 143

G

- Geometria irregular 38
Gestão de processos 351, 352, 354, 355, 358

I

- Imperfeições geométricas iniciais 53, 54, 55, 62, 64, 67, 69
Inclusão 29, 33, 35, 36, 67, 68, 197, 359, 360
Industrial process 131
Informação 12, 21, 193, 205, 216, 351, 354, 355, 356, 357, 358, 360, 366
Inovação 86, 104, 105, 193, 366
Interfaces 215, 216, 225, 231, 232, 233, 234, 235, 361

J

- Jogo 11, 12, 13, 14, 15, 16, 17, 18, 19, 20, 206, 207, 209, 210, 211, 212, 213

L

- Layout 221, 222, 359, 360, 362
Libras 11, 12, 13, 14, 17, 18, 19, 20, 21, 22

M

- Malha 38, 39, 40, 44, 45, 46, 49, 50, 72, 79, 108, 182, 285, 299, 303, 304, 313, 321, 322, 326
Modelagem 31, 33, 35, 36, 38, 39, 70, 72, 149, 194, 251, 255, 268, 280, 285, 294, 295, 299, 305, 351, 352, 353, 354, 356, 357, 358
Modos incompatíveis 70, 72, 75, 76, 77, 79, 80, 82, 83

O

Oscar Niemeyer 84, 85, 86, 87, 89, 101, 102, 103, 104, 105, 118

P

Pasternak 143, 144, 145, 149, 151, 153, 154

Processos 82, 171, 240, 312, 351, 352, 353, 354, 355, 356, 357, 358, 359, 361

Programação 72, 211, 215, 224, 361

Programas 55, 205, 206, 210, 214, 294, 359

Projeto socioambiental 198

R

Realidade aumentada 193, 194, 195, 196, 197

Rede neural 168, 169, 171, 175

Resistência 53, 54, 55, 56, 60, 61, 62, 63, 64, 65, 66, 67, 68, 89, 96, 131, 145, 255, 256, 258, 261, 262, 263, 280, 294, 314

Robô 168, 169, 170, 173, 174, 175, 176, 177, 178, 179

Robótica 168

RPG 11, 12, 15, 16, 18

RStudio 215, 216, 217, 218, 220, 224, 225

S

Shiny 215, 216, 217, 218, 220, 221, 224, 225

Simulações 23, 24, 30, 31, 33, 35, 38, 44, 50, 168, 169, 175, 181, 311, 312, 326, 329

Sobretensões de manobras 23, 24, 25, 29, 30

Software 1, 6, 12, 18, 40, 53, 55, 66, 70, 71, 72, 77, 79, 80, 82, 103, 155, 156, 157, 158, 159, 166, 167, 196, 210, 215, 216, 217, 218, 220, 224, 225, 226, 227, 228, 229, 230, 231, 232, 233, 235, 237, 238, 239, 256, 257, 263, 265, 266, 267, 281, 285, 297, 299, 300, 311, 320, 321, 330, 356, 357, 359, 360, 363, 364

Stable hysteresis cycle 1, 3, 9

Summarization 329, 330, 331, 332, 343, 349, 350

Supressores de surto 23, 25, 28, 29, 30, 33, 34, 35, 36

Sustentabilidade 198, 199

T

Tecnologia 11, 12, 21, 54, 70, 168, 193, 194, 196, 197, 206, 208, 215, 279, 290, 311, 326, 351, 355, 358, 359, 362, 366

Tensão 1, 24, 25, 26, 27, 28, 33, 34, 59, 62, 63, 66, 67, 75, 170, 255, 256, 258, 260, 261,

266, 295

Tensões residuais 53, 54, 55, 61, 62, 63, 64, 65, 66, 67, 68, 69

Transformadores 23, 24, 25, 28, 30, 34, 35, 36

Transitórios eletromagnéticos 23, 24, 31

W

Web 54, 194, 195, 196, 200, 215, 216, 217, 218, 221, 222, 225, 355, 359, 360, 361, 362, 363, 365

COLEÇÃO

DESAFIOS

DAS

ENGENHARIAS:

ENGENHARIA DE COMPUTAÇÃO

- 
- 🌐 www.atenaeditora.com.br
 - ✉️ contato@atenaeditora.com.br
 - 📷 [@atenaeditora](https://www.instagram.com/atenaeditora)
 - FACEBOOK www.facebook.com/atenaeditora.com.br

COLEÇÃO

DESAFIOS

DAS

ENGENHARIAS:

ENGENHARIA DE COMPUTAÇÃO

- 
- 🌐 www.atenaeditora.com.br
 - ✉️ contato@atenaeditora.com.br
 - 📷 [@atenaeditora](https://www.instagram.com/atenaeditora)
 - FACEBOOK www.facebook.com/atenaeditora.com.br